

مدل سازی دوبعدی داده های مگنتوتلوریک به منظور آشکارسازی منابع هیدروکربوری با روش دوقطری سازی لنکزوس (مطالعه موردی: منطقه کاشان)

فائزه میناعراقی^۱، میرستار مشین چی اصل^۲، علی نجاتی کلاته^۳ و محمود میرزا بی^۳

۱- گروه علوم زمین، دانشکده علوم پایه، دانشگاه آزاد اسلامی واحد علوم و تحقیقات تهران، ایران

۲- دانشکده مهندسی معدن، نفت و ژئوفیزیک، دانشگاه صنعتی شاهرود، ایران

۳- دانشکده علوم پایه، دانشگاه اراک، ایران

تاریخ دریافت: ۱۳۹۹/۱۱/۱۵ تاریخ پذیرش: ۱۴۰۰/۳/۲۴

چکیده

روش مگنتوتلوریک از میدان های الکتریکی و مغناطیسی طبیعی و متغیر با زمان در سطح زمین جهت پی بردن به ساختارهای الکتریکی زمین مثل اکتشاف ساختارهای حاوی مواد هیدروکربوری استفاده می کند. در فرآیند وارون سازی داده های مگنتوتلوریک، روش محاسبه وارون ماتریس تأثیر به سزایی در سرعت وارونگی و کیفیت مدل های بدست آمده دارد. روش دوقطری سازی لنکزوس یک روش سریع و مؤثر برای مسائل وارون است. در این الگوریتم، سیستم روابطی با ابعاد کمتر جایگزین روابط اصلی می شود. علاوه بر این برای تعیین پارامتر تنظیم از روش متعادل سازی قید فعل استفاده شده است. نتایج وارون سازی داده های مصنوعی نشان داد که روش لنکزوس سریع تر از روش متداول گرادیان مزدوج است و مدل به دست آمده با این روش کیفیت بهتری دارد. روش پیشنهادی همچنین بر روی داده های مگنتوتلوریک منطقه کاشان اعمال شد. مدل به دست آمده سازند قم را که مهم ترین سنگ مخزن و سنگ منشا هیدروکربوری در ایران مرکزی است و دیگر ساختارهای زمین شناسی منطقه از قبیل تاقدیس نواب و گسل ها را به خوبی نشان می دهد. نتایج حاصل از مدل سازی با دو روش لنکزوس و گرادیان مزدوج و مقایسه آن ها با اطلاعات زمین شناسی نشان می دهد که مدل سازی با روش لنکزوس نتایج قابل قبول تر و نزدیک تری به مدل واقعی زمین نسبت به مدل به دست آمده با روش دیگر از خود نشان می دهد.

کلمات کلیدی: مگنتوتلوریک، دوقطری سازی لنکزوس، سازند قم، متعادل سازی قید فعل، کاشان

مقدمه

پایین می‌آید اما داده‌های مگنتوتولویریک برداشت شده در این ناحیه تصویر به مراتب واضح‌تری را ارائه نمودند. در داده‌های اخیر، روش مگنتوتولویریک به‌شکل خاص در اکتشاف مخازن هیدروکربوری مورد استفاده قرار گرفته‌اند [۵-۶]. در ایران نیز از روش مگنتوتولویریک در اکتشاف میدان‌ین نفت و گاز استفاده شده است. هاشمی [۷] با وارون‌سازی دو بعدی داده‌های مگنتوتولویریک جهت اکتشاف ساختارهای هیدروکربوری کپه داغ غربی توانست تاقدیس و ناویدیس کرند در کپه داغ غربی و همچنین، گسل مراوه را به خوبی شناسایی کند. منصوری و همکاران [۸] با استفاده از داده‌های مگنتوتولویریک برداشت شده در میدان نفتی سه‌قнат هندسه کلی و جهت امتداد ساختارهای زمین‌شناسی زیرسطحی را با دقت بالایی تعیین کردند. البرزیان و همکاران [۹] به‌منظور تشخیص ساختارهای هیدروکربنی منطقه گچساران از وارون‌سازی داده‌های مگنتوتولویریک استفاده کردند و نشان دادند مدل‌سازی انجام شده توانسته بالای سازند آسماری و ساختارهای تاقدیسی با دقت خوبی مدل نماید. در این تحقیق بعد از پردازش داده‌های سری زمانی منطقه کاشان، با محاسبه مقادیر تانسور امپدانس (Z) مقادیر مقاومت ویژه ظاهری و فاز در حوزه فرکانس تعیین گردیده‌اند. پس از اجرای کلیه مراحل پردازشی اولیه داده‌های برداشت شده، دو روش گرادیان مزدوج و لنکزووس برای وارون‌سازی برروی داده‌ها اعمال می‌شوند و در نهایت مدل‌های مقاومت ویژه به‌دست آمده از دو الگوریتم با اطلاعات و مقاطع زمین‌شناسی منطقه برای اعتبارسنجی مقایسه خواهند شد.

زمین‌شناسی منطقه مورد مطالعه

در حال حاضر، حوضه رسوی زاگرس یکی از بزرگ‌ترین ذخایر هیدروکربنی جهان شناخته می‌شود و هر ساله تعداد زیادی عملیات اکتشافی ژئوفیزیکی به‌منظور پی جویی مخازن جدید در آن در حال اجرا است.

روش مگنتوتولویریک یک روش ژئوفیزیکی با چشم طبیعی است که از اندازه‌گیری سطحی تغییرات میدان‌های الکتروکمagnetیسی زمین در دو جهت متقاطع برای اکتشاف و شناسایی ساختارهای زیر سطحی استفاده می‌کند. در این روش تغییرات میدان الکترومغناطیسی طبیعی موجود در اطراف زمین جریان‌های الکتریکی را در زمین القا می‌کند، این جریان‌های القایی نیز میدان‌های الکترومغناطیسی ثانویه را با توجه به میزان رسانندگی تشکیلات زیر سطحی تولید می‌کنند. بنابراین با ثبت هم‌زمان مؤلفه‌های الکتریکی و مغناطیسی، میدان‌های الکترومغناطیسی در فرکانس‌های مختلف اطلاعات مفیدی درباره خصوصیات الکتریکی لایه‌های زیرسطحی به‌دست می‌دهند. فرض براین است که امواج الکترومغناطیسی به شکل تخت بوده و به‌طور قائم به سطح زمین برخورد و درون زمین منتشر می‌شوند [۱۰-۱۲]. محدوده فرکانس مورد مطالعه در روش مگنتوتولویریک با چشم طبیعی ۰/۰۰۰۰۱ Hz تا ۱۰۰۰۰ Hz است. در مناطقی که به کارگیری روش لرزه‌نگاری به دلایلی مانند توپوگرافی شدید منطقه وجود حفره‌های وسیع زیرزمینی با مشکل روبرو است روش مگنتوتولویریک می‌تواند به عنوان یک روش کاربردی مفید مورد استفاده قرار گیرد [۱۳]. اکتشافات نفتی به روش مگنتوتولویریک از دهه ۱۹۶۰ در کشور سوریه به شکل موفقیت آمیزی مورد استفاده قرار گرفته است. واتس و پینس [۱۴] یک مثال از اکتشاف نفت با استفاده از روش مگنتوتولویریک را در جنوب ترکیه ارائه کردند. در این مطالعه، محیط مورد بررسی شامل یک لایه نسبتاً نرم شامل رسوبات عمیق دریایی با مقاومت ویژه پایین که با توده‌های افیولیتی درآمیخته شده‌اند، برروی کربنات‌های سخت با مقاومت ویژه بالا فرارانده قرار گرفته‌اند. در چنین شرایطی به‌دلیل حضور توده‌های متنو و در هم آمیخته سنگ‌شناسی، کیفیت داده‌های لرزه‌ای بهشت

و همچنین، مؤلفه‌های افقی و عمودی مغناطیسی روی سطح زمین توسط دو جفت از الکترودهای غیرقابل قطبش و پیچه‌های مغناطیس سنج القایی اندازه‌گیری شده‌اند. این داده‌ها توسط شرکت چینی سینوپک و با نظارت مدیریت اکتشاف شرکت ملی نفت ایران جمع آوری شده است. پروفیل مورد مطالعه شامل ۲۹۵ ایستگاه به طول ۶۰ km است که عمود بر ساختار زمین‌شناسی منطقه که تقریباً بصورت شمال غربی-جنوب شرقی است برداشت شده است. همچنین، در طول این پروفیل داده‌های (Z) لرزه‌ای نیز برداشت شده است. تانسور امپدانس (Z) که نسبت بین مؤلفه‌های افقی میدان‌های الکتریکی و مغناطیسی است، به عنوان تابعی از فرکانس تعیین می‌شود. در نهایت، مقاومت ویژه ظاهری و فاز را می‌توان به صورت زیر محاسبه نمود:

$$\rho_{xy} = \frac{1}{\omega\mu_0} |Z_{xy}|^2 \quad \phi_{xy} = \arg(Z_{xy}) \quad (1)$$

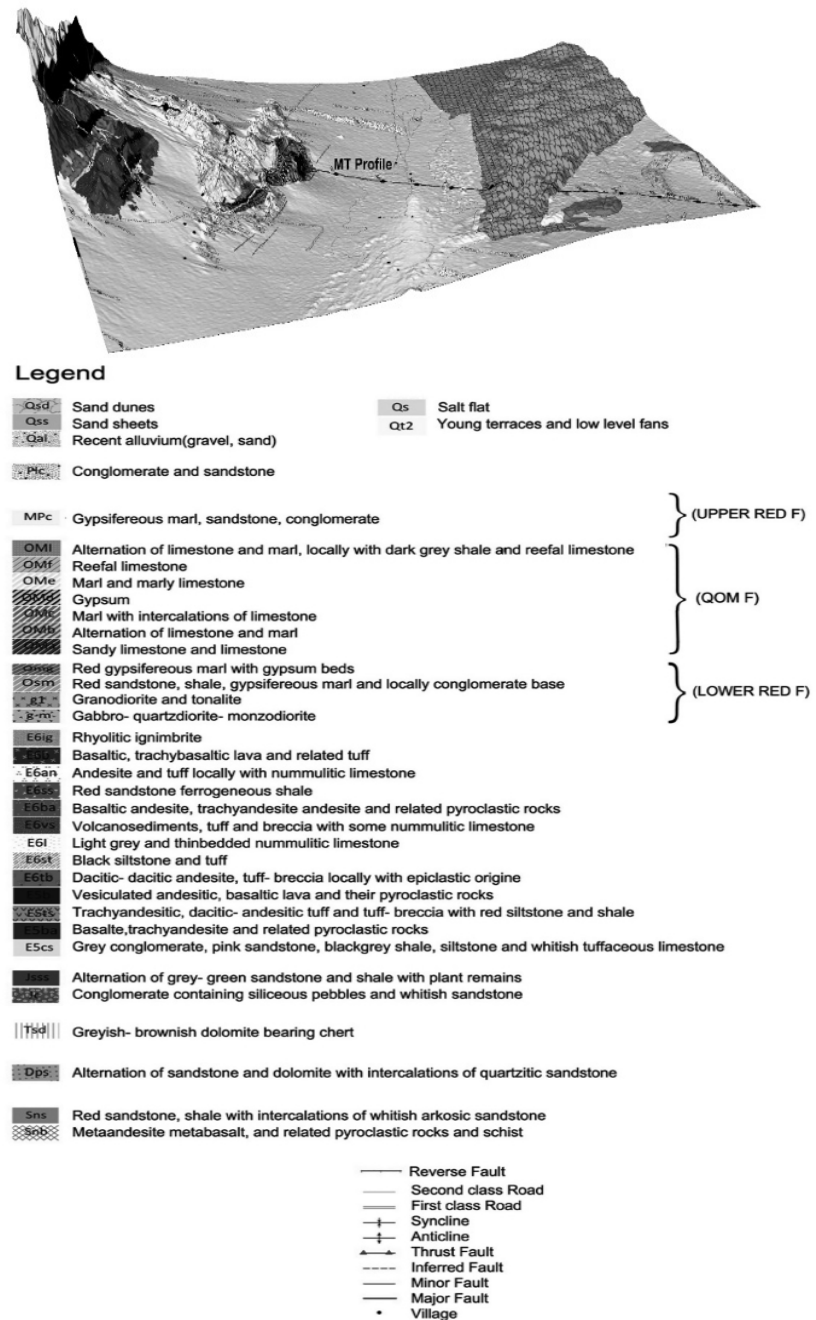
$$Z_{xy} = E_x / H_y \quad \text{که} \quad \phi_{yx} = \arg(Z_{yx}) \quad \rho_{yx} = \frac{1}{\omega\mu_0} |Z_{yx}|^2 \quad (2)$$

TE و Z_{yx} = E_y / H_x امپدانس در دو حالت TM و به ترتیب می‌باشند [۱۲]. نمودارهای مقاومت ویژه و فاز برای دو ایستگاه به عنوان نمونه در شکل ۲ آورده شده است. منحنی‌های فاز و مقاومت ویژه ظاهری در هر دو حالت و در فرکانس‌های بالا یکسان هستند در حالی که این منحنی‌ها در فرکانس‌های پایین ویژگی‌های متفاوتی از خود نشان داده‌اند و از یکدیگر جدا شده‌اند. این اختلاف می‌تواند مربوط به تغییرات مقاومت ویژه ساختارهای دوبعدی و یا سه‌بعدی در اعماق زیاد باشد.

تحلیل ابعادی

تحلیل ابعادی داده‌های مگنتوتولوریک ابزار قدرتمندی برای تعیین ساختارهای زیرسطحی منطقه قبل از انجام مدل‌سازی می‌باشد. روش‌های مختلفی برای تخمین بعد داده‌های مگنتوتولوریک پیشنهاد شده است که از آن جمله می‌توان به روش اسکیو [۱۳]، نمودارهای موهر [۱۴]، نمودارهای

بیشترین ذخایر نفتی و گازی حوضه زاگرس در ارتباط با مخازن آهکی و کربناته است [۱۰]. با توجه به چینه‌شناسی منطقه مورد مطالعه، سازند قم را باید سنگ منشا هیدروکربن در ناحیه دانست که قسمت‌های بالایی و پایینی آن به ترتیب سازند قرمز فوقانی و سازند قرمز پایینی می‌باشند. سازند قرمز بالایی از لایه‌های کنگلومرا، ماسه سنگ و مارن ژیپس دار تشکیل شده است که می‌تواند به عنوان سنگ پوش در نظر گرفته شود. با توجه به تغییر طولی در سنگ‌شناسی، سازند قم را می‌توان به شش واحد a، b، c، d، e، f از پایین به بالا تقسیم کرد. بخش a شامل سنگ آهک ماسه‌ای و سنگ آهک و توف است. سنگ‌شناسی بخش b تناوبی از سنگ آهک و مارن است. بخش c حاوی مارن با میان لایه‌های سنگ آهک است. واحد d نازک است و سنگ‌شناسی آن عمدتاً سنگ گچ است. بخش e مارن و سنگ آهک مارنی دارد. بخش f شامل لایه‌های آهکی و سنگ آهک ریفی یا مرجانی است که دارای پتانسیل نفتی است. در مجموع سازند قم در کاشان مجموعه‌ای از مخازن متخلخل آهکی با شکستگی نسبتاً توسعه یافته است. سازند قرمز پایینی در زیر سازند قم قرار دارد و دارای ماسه سنگ، کنگلومرا، مارن قرمز همراه با واسطه‌هایی از سنگ‌های آتش‌شانی اندزیتی می‌باشد [۱۱]. همچنین در طول پروفیل، تاقدیس زیبائی بروندز دارد که به نام تاقدیس نواب شهرت یافته است. عمدۀ واحدهای دو یال این تاقدیس از سازند قم تشکیل یافته است اما یال جنوبی با ضخامت حدود ۴۳۰ m کامل‌تر بوده و یال شمالی بیشتر فرسایش یافته است. موقعیت خط برداشت در منطقه کاشان روی نقشه توپوگرافی در شکل ۱ نشان داده شده است. برداشت داده‌های مگنتوتولوریک در منطقه مورد مطالعه، با اندازه‌گیری میدان‌های الکتریکی در دو جهت افقی (E_x, E_y) و مغناطیسی در دو جهت افقی (H_x, H_y) و یک جهت عمودی (H_z) انجام شده است. مؤلفه‌های افقی میدان الکتریکی



شکل ۱ نقشه زمین‌شناسی منطقه

تансور امپدانس هستند. زاویه اسکیو تانسور فاز تقارن یا عدم تقارن این تانسور را نشان می‌دهد. این زاویه با رابطه زیر تعریف می‌شود:

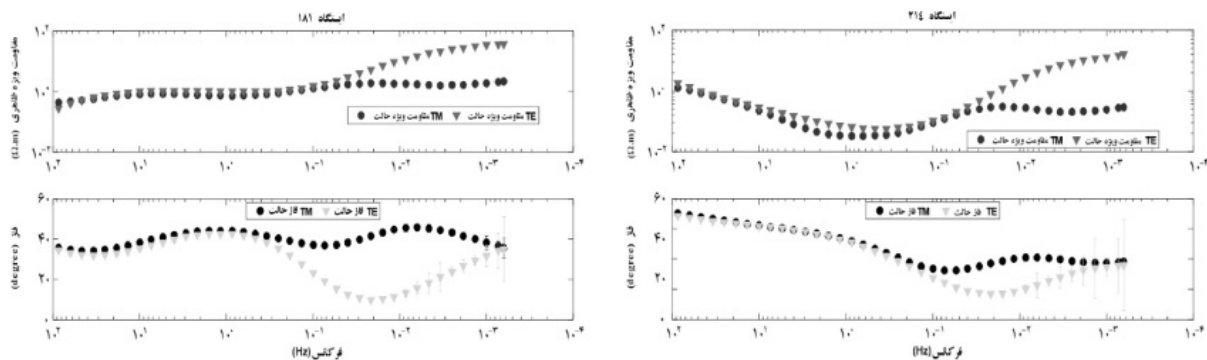
$$\beta = \frac{1}{2} \tan^{-1} \left(\frac{\phi_{XY} - \phi_{YX}}{\phi_{XX} - \phi_{YY}} \right) \quad (4)$$

زاویه اسکیو تانسوز فاز را برای داده‌های کاشان و برای تعدادی از ایستگاه‌ها و در تمام پریودها محاسبه کردایم.

قطبی امپدانس [۱۵]، اندیس‌های وزنی نرمال شده [۱۶]، تانسور فاز [۱۷] و کد والدیم [۱۸] اشاره کرد. در این مقاله برای تحلیل ابعادی از تانسور فاز استفاده شده است. تانسور فاز با رابطه زیر تعریف می‌شود:

$$\phi = X^{-1} Y = \begin{pmatrix} \phi_{XX} & \phi_{XY} \\ \phi_{YX} & \phi_{YY} \end{pmatrix} \quad (3)$$

در این رابطه، X و Y قسمت‌های حقیقی و موهومی



شکل ۱- نمودار جریان فرآیندی در نرم‌افزار ASPEN HYSYS

وارون‌سازی به نتایج معقول‌تری مرتبط به تشکیلات زیر سطحی صورت گیرد، روش منظم‌سازی تیخونوف به کار برده شده است. در این روش برای وارون‌سازی داده‌های برداشت شده کنونی مسئله وارون‌سازی از طریق کمینه‌سازی یکتابع هدف صورت گرفته است که این تابع هدف وابسته به داده‌های مشاهدهای و داده‌های پیش‌بینی شده بوده و به صورت رابطه زیر تعریف گردیده است:

$$P(m) = \phi(m) + \lambda^2 s(m) \quad (6)$$

که $\phi(m)$ تابع عدم برازش بین داده‌های مشاهدهای و داده‌های پیش‌بینی شده و $s(m)$ تابع منظم‌ساز نامیده می‌شود. با خطی‌سازی رابطه ۵ تغییرات پارامترهای مدل به صورت زیر ارائه گردیده است:

$$\Delta m = (J^T J + \lambda^2 W^T W)^{-1} J^T \Delta d \quad (7)$$

که W ماتریس وزن پارامترهای مدل، λ پارامتر تنظیم، Δd اختلاف بین داده‌های مشاهده شده و محاسبه شده، Δm تغییرات مدل برآورد شده و J ماتریس حساسیت یا ماتریس مشتقات پارهای مرتبه اول یا ماتریس ژاکوبین می‌باشد [۲۱-۲۰]. در فرآیند وارون‌سازی ابتدا Δd و ماتریس حساسیت J با استفاده از یک مدل اولیه m_0 که بردار ستونی صفر در نظر گرفته می‌شود، محاسبه می‌شود. سپس شرط توقف برای فرآیند وارون‌سازی کنترل می‌شود. اگر خطای ناشی از اختلاف بین داده مشاهده شده و پاسخ مدل کوچک‌تر یا مساوی خطای ناشی از یک مقدار آستانه‌ای کوچک تعریف شده باشد فرآیند وارون‌سازی متوقف می‌شود.

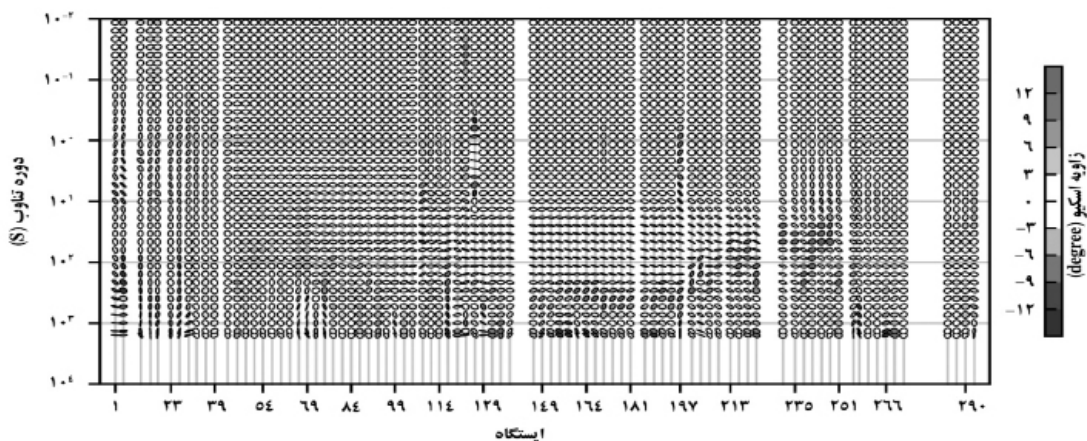
نتایج این محاسبات به صورت بیضی‌هایی از تانسور فاز به صورت یک شبکه مقطع در شکل ۳ آورده شده است. تانسور فاز برای ساختارهای یکبعدی بصورت دایره و برای ساختارهای دوبعدی و سه‌بعدی بیضی می‌باشد. همچنین، مقادیر اسکیو در این شکل برای ساختارهای یکبعدی و دوبعدی صفر است در حالی که برای مقادیر اسکیو $|\beta| \geq 3$ ساختارها سه‌بعدی می‌باشند [۱۹]. تحلیل ابعادی صورت گرفته بیانگر این است که ساختارهای زیرسطحی در ایستگاه‌های انتخاب شده، در فرکانس‌های زیاد و میانی یکبعدی یا دوبعدی هستند. اما در باند فرکانسی پایین روش تحلیل ابعادی حالت سه‌بعدی را تشخیص داده است که این محدوده فرکانسی مربوط به عمق‌های زیاد می‌باشد که بخشی از انتهای مدل را شامل می‌شود که مرتبط و مورد علاقه برای اهداف اکتشافی ذکر شده نمی‌باشد. لذا، انتخاب وارون‌سازی دوبعدی داده‌های مگنتوتولوریک معقول می‌باشد.

وارون‌سازی داده‌ها به روش لنکزوس و گرادیان مزدوج

مسئله پیش رو در روش مگنتوتولوریک دو بعدی به صورت زیر بیان می‌شود:

$$d^m = F(m) \quad (5)$$

که F تابع پیش رو غیرخطی، m بردار پارامتر مدل و d^m بردار داده‌های پیش‌بینی شده یا پاسخ مدل است. یکی از روش‌های پرکاربرد برای آنکه نتایج



شکل ۳ شبیه مقطع تاسیسور فاز برای پروفیل برداشت شده در نرم‌افزار MTpy

روش گرادیان مزدوج همچنین یکی از روش‌های تکراری متداول برای حل سیستم روابط خطی است. جزئیات این روش در مقاله هستنس و استیفل [۲۴] به خوبی بررسی شده است.

محاسبه پارامتر منظم‌سازی به روش معادل‌ساز قید فعال

تعیین مقدار بهینه پارامتر منظم‌سازی یا ضرایب لاغرانژ، در حالی که تعادل بین تابع عدم برازش و تابع منظم‌ساز تیخونوف را حفظ کند، از اهمیت بالایی برخوردار است [۲۵]. در مدل‌سازی معکوس سعی می‌شود برآورد خوبی از پارامتر تنظیم داشته باشیم. اما پیدا کردن بهترین ضریب، کار ساده‌ای نیست. به لحاظ نظری، مقادیر بزرگ برای پارامتر تنظیم، قیدهای بیشتری را به جواب اعمال می‌کند و تفکیک‌پذیری ضعیفتری از پارامترها را به دست می‌دهد. از سوی دیگر مقادیر کم پارامتر تنظیم بر پایداری وارون اثر منفی دارد. یک مقدار بینابینی و بهینه برای پارامتر تنظیم به منظور دست‌یابی به تفکیک‌پذیری و پایداری لازم است. این رهیافت این حقیقت را نادیده می‌گیرد که همه پارامترها، تفکیک‌پذیری یکسانی ندارند. بنابراین تغییر پارامتر تنظیم در حین هم‌گرایی معکوس‌سازی برای دست‌یابی به تفکیک‌پذیری بیشتر و پایداری ترجیح داده می‌شود [۲۶].

در غیر این صورت مدل اولیه با استفاده از تغییرات مدل برآورده شده بروزرسانی می‌گردد. دستگاه روابط خطی ۷ را می‌توان با روش تقریب کمترین مربعات حل کرد:

$$\min \left\| \begin{pmatrix} J \\ \Delta W \end{pmatrix}_{\Delta m} - \begin{pmatrix} \Delta d \\ 0 \end{pmatrix} \right\|_2^2 \quad (8)$$

برای بروزرسانی کردن پارامتر مدل و برآورده تغییرات پارامترهای مدل از دو روش تکراری لنکزووس و گرادیان مزدوج استفاده شده است. روش لنکزووس از روش گرادیان مزدوج سریع‌تر است چون از ضرب ماتریس‌های بزرگ در این روش جلوگیری می‌شود. در این روش، سیستم روابط اصلی با یک سیستم روابط با ابعاد کمتر جایگزین می‌شود در نتیجه سرعت حل مسأله با دقت بالا افزایش می‌یابد [۲۲-۲۳]. الگوریتم دو قطری‌سازی لنکزووس به طور خلاصه در زیر آورده شده است:

Algorithm

```

 $J \in R^{n \times m}, \Delta d \in R^n, 0 < l < \min\{m, n\}$   $\{u_j\}_{j=1}^{l+1}, \{v_j\}_{j=1}^l,$ 
 $\{\rho_j\}_{j=1}^l, \{\sigma_j\}_{j=1}^{l+1}$ 
 $\sigma_1 = \|\Delta m\|; u_1 = \Delta d / \sigma_1; \tilde{v}_1 = J^T u_1$ 
 $\rho_1 = \|\tilde{v}_1\|; v_1 = \tilde{v}_1 / \rho_1$ 

for  $j = 2, 3, \dots, l$  do
     $\tilde{u}_j = J v_{j-1} - \rho_{j-1} u_{j-1}; \sigma_j = \|\tilde{u}_j\|; u_j = \tilde{u}_j / \sigma_j;$ 
     $\tilde{v}_j = J^T u_j - \sigma_j v_{j-1}; \rho_j = \|\tilde{v}_j\|; v_j = \tilde{v}_j / \rho_j;$ 
end j;
 $\tilde{u}_{l+1} = J v_l - \rho_l u_l; \sigma_{l+1} = \|\tilde{u}_{l+1}\|; u_{l+1} = \tilde{u}_{l+1} / \sigma_{l+1};$ 

```

کمتری تطابق بسیار بهتری نسبت به روش گرادیان مزدوج را نشان میدهد. همچنین، **شکل ۶** در حالت TE الگوریتم لنکزووس پس از $579/8$ s و در تکرار ۸ ام به مقدار RMS مطلوب رسید در حالی که الگوریتم گرادیان مزدوج پس از $722/2$ s و در تکرار ۹ ام به مقدار RMS مطلوب رسید. با توجه به نتایج وارون‌سازی مشاهده می‌شود که روش لنکزووس در هر دو بهتر از روش گرادیان مزدوج است ولی حالت TM در روش لنکزووس بهترین و نزدیک‌ترین جواب را به مدل مصنوعی ایجاد شده دارد زیرا داده‌های حالت TE در مقایسه با حالت TM نسبت به تغییرات جانبی حساس نیست **[۲۹]**.

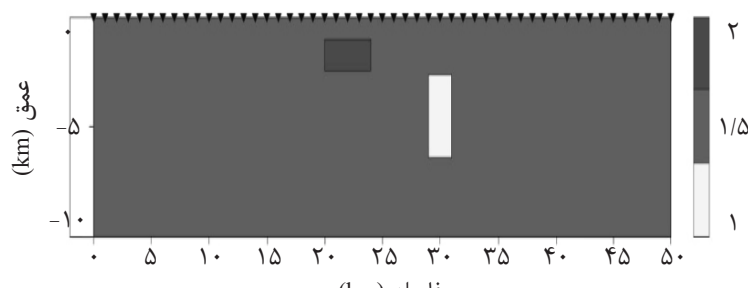
وارون‌سازی داده‌های واقعی

بلوک کاشان نخستین بلوک اکتشافی است که دارای پتانسیل نفت و گاز می‌باشد که در قسمت شرقی حوضه مرکزی ایران با مساحت تقریباً 2×4 Km² و در عمق $1/5$ Km با ابعاد 2×4 Km در مقاومت ویژه 0.2 m³ باشد که در یک زمینه با مقاومت ویژه 0.5 Km می‌باشد که در یک گرفته است. برای تولید داده‌های مصنوعی **شکل ۵** ایستگاه برای اندازه‌گیری داده‌های مگنتوتولوریک با فواصل 1000 m در طول یک پروفیل روی مدل مذکور طراحی شده است. محدوده فرکانسی برای تولید داده‌های مدل مصنوعی بین $0.001 - 100$ Hz و تعداد 51 فرکانس انتخاب شدند. به داده‌ها 2% نویز اضافه شده است. **شکل ۶** مدل‌سازی حاصل از داده‌ها در دو حالت TM و TE را با دو روش لنکزووس و گرادیان مزدوج به ترتیب نشان می‌دهند که مدل حاصل از این دو روش بعد از $323/4$ s و $617/3$ به مقادیر RMS مطلوب رسیدند. به خوبی در این اشکال دیده می‌شود که وارون‌سازی حاصل از حالت TM در روش لنکزووس در تعداد تکرار و زمان

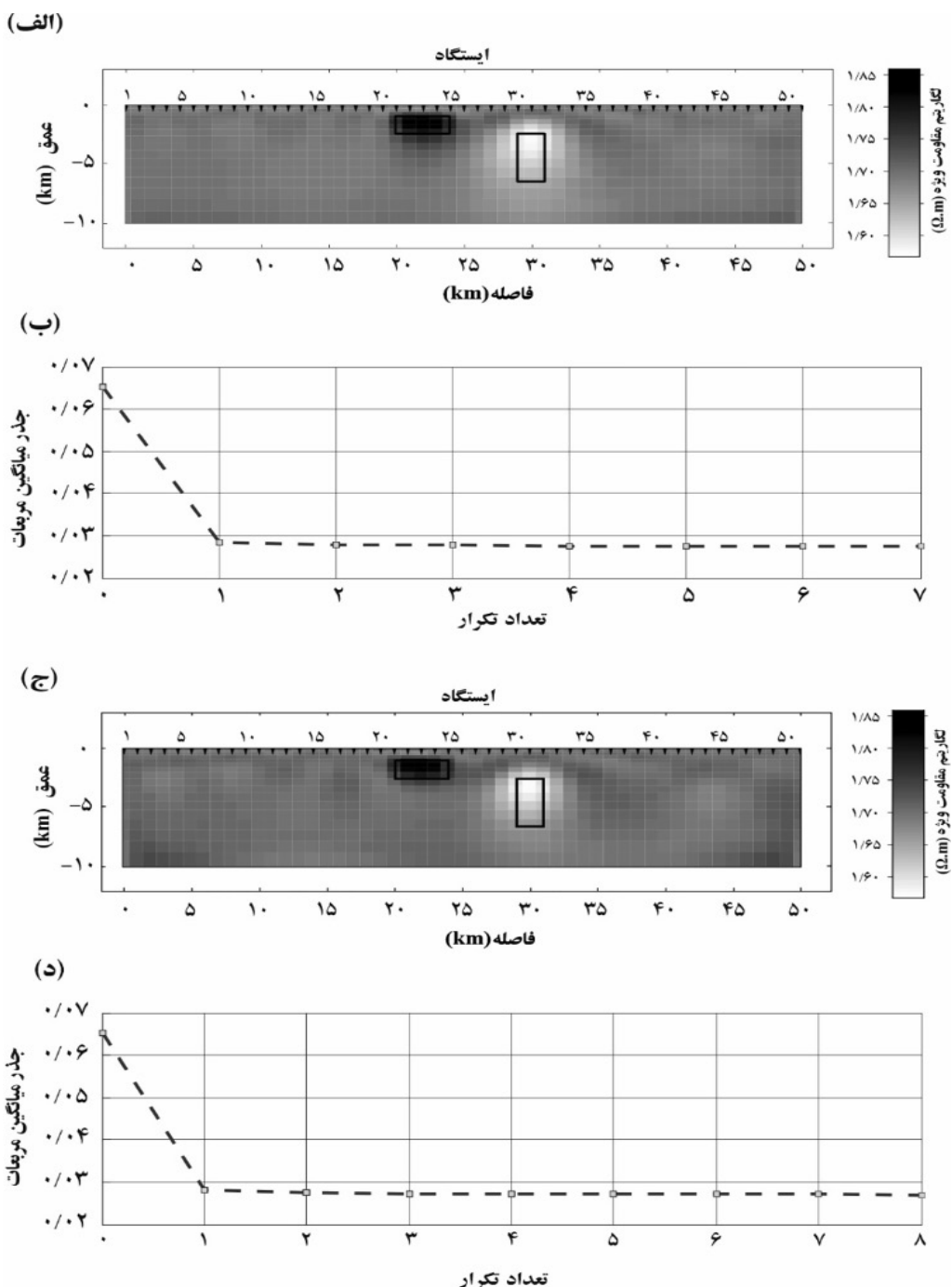
از این‌رو، این روش در مقایسه با حالتی که یک مقدار ثابت برای پارامتر تنظیم در وارون به کار می‌رود دقیق‌تر است. یک روش جایگزین بهمنظر استفاده از پارامتر تنظیم متغیر با تکرار در فرآیند وارون، استفاده از پارامتر تنظیم متغیر با مکان است **[۲۷]**. بهمنظر استفاده از λ به عنوان یک متغیر مکانی (x_i, y_i, z_i) ، λ ، i و همکاران **[۲۸]** روش معادل‌سازی قید فعال را پیشنهاد کردند.

وارون‌سازی داده‌های مصنوعی

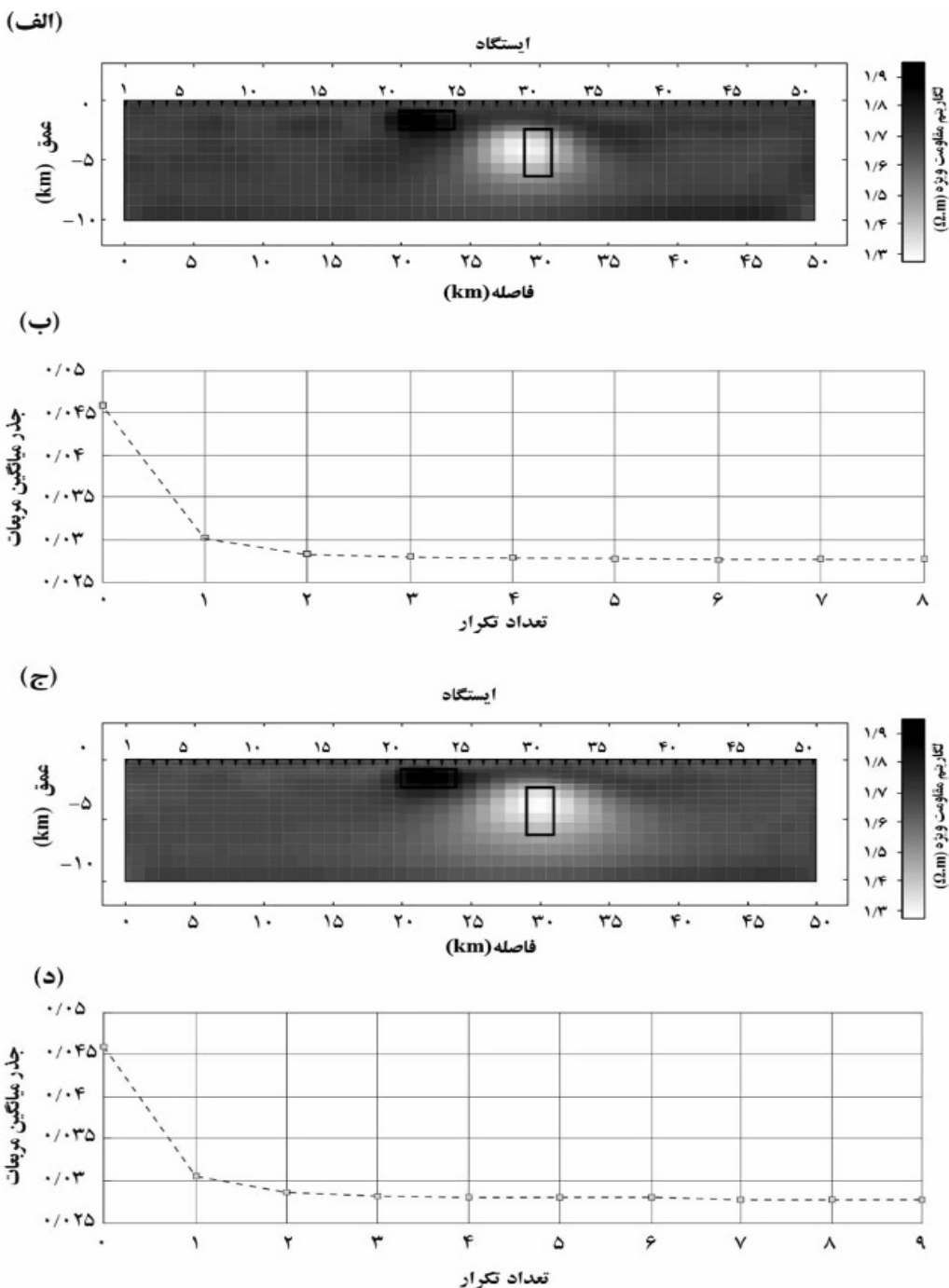
برای ارزیابی روش به کار برده شده یک مدل مصنوعی ساده دو بعدی مانند **شکل ۴** در نظر گرفته شد. این مدل شامل دو بلوک با مقاومت ویژه 0.2 m³ با ابعاد 2×4 Km در عمق $1/5$ Km و دیگری 10 m³ با ابعاد 1×100 m با مقاومت ویژه 0.1 Km³ می‌باشد که در یک زمینه با مقاومت ویژه 0.5 Km قرار گرفته است. برای تولید داده‌های مصنوعی **شکل ۵** ایستگاه برای اندازه‌گیری داده‌های مگنتوتولوریک با فواصل 1000 m در طول یک پروفیل روی مدل مذکور طراحی شده است. محدوده فرکانسی برای تولید داده‌های مدل مصنوعی بین $0.001 - 100$ Hz و تعداد 51 فرکانس انتخاب شدند. به داده‌ها 2% نویز اضافه شده است. **شکل ۶** مدل‌سازی حاصل از داده‌ها در دو حالت TM و TE را با دو روش لنکزووس و گرادیان مزدوج به ترتیب نشان می‌دهند که مدل حاصل از این دو روش بعد از $323/4$ s و $617/3$ به مقادیر RMS مطلوب رسیدند. به خوبی در این اشکال دیده می‌شود که وارون‌سازی حاصل از حالت TM در روش لنکزووس در تعداد تکرار و زمان



شکل ۴ مدل مصنوعی



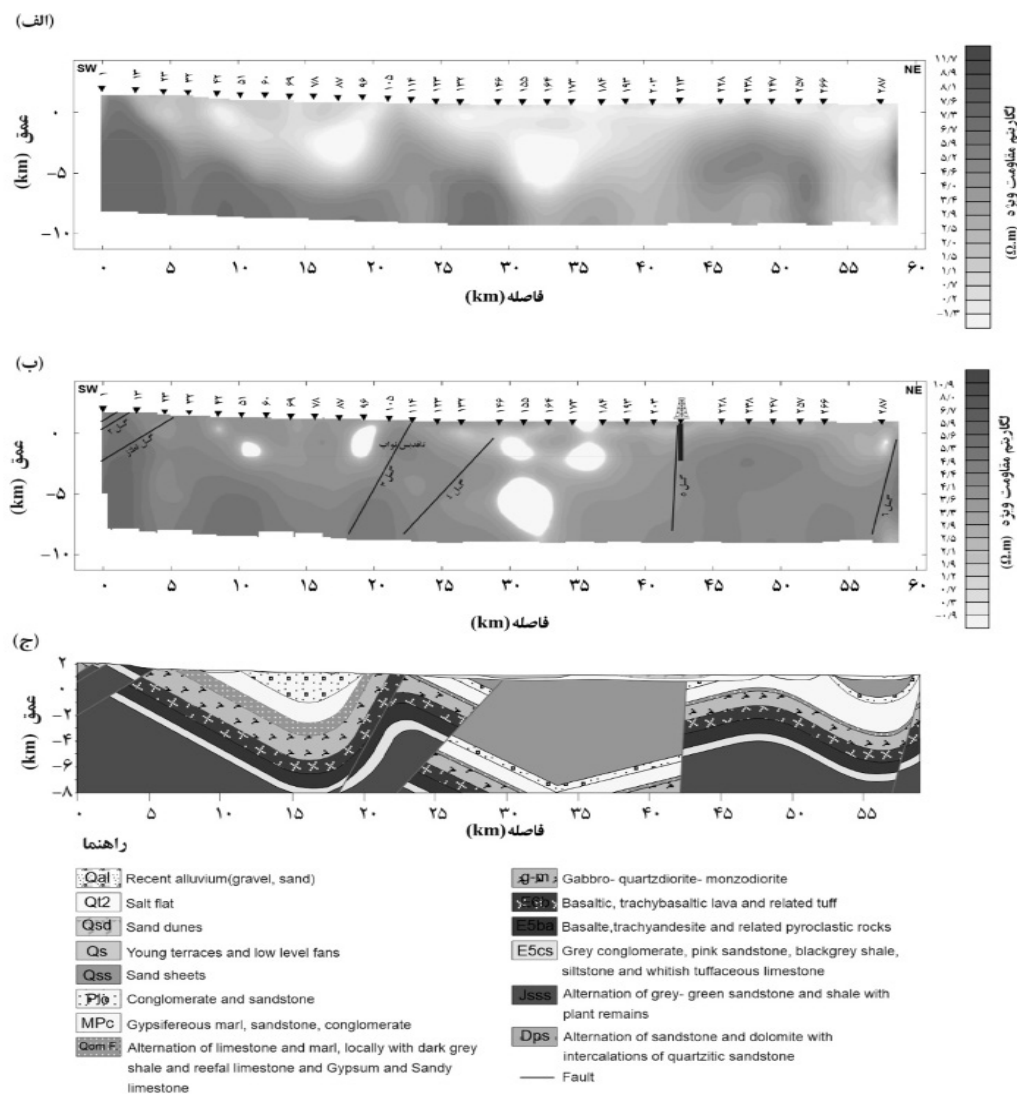
شکل ۵ مدل به دست آمده در حالت TM با استفاده از الف) روش لنکزووس ب) جذر میانگین مربعات با روش لنکزووس ج) روش گرadiان مزدوج د) جذر میانگین مربعات با روش گرadiان مزدوج



شکل ۶ مدل به دست آمده در حالت TE با استفاده از (الف) روش لنکزووس ب) جذر میانگین مربعات با روش لنکزووس ج) روش گرادیان مزدوج (د) جذر میانگین مربعات با روش گرادیان مزدوج

کمی برخوردار است که مقاومت کم در این لایه به علت وجود آبرفت، کنگلومرا و ماسه سنگ است (سازند قرمز بالایی M1). به جز در ابتدای پروفیل که در عمق‌های کم یک زون با مقاومت ویژه بالا وجود دارد که مرتبط با بازالت، کوارتزدیوریت و گابرو می‌باشد.

شکل ۷ (ب) نشان می‌دهد که روش لنکزووس مدل بهتری را در زمان سریع‌تری نسبت به روش گرادیان مزدوج (شکل ۷ (الف)) بازیابی می‌کند که با مقطع زمین‌شناسی هم تطابق خوبی دارد. مدل مقاومت ویژه به دست آمده در شکل ۷ (ب)، نشان می‌دهد که لایه اول در کل پروفیل از مقاومت ویژه نسبتاً



شکل ۷ مقایسه وارون‌سازی داده‌های کاشان در حالت TM (الف) مدل به دست آمده با روش گریدیان مزدوج ب) مدل حاصل از روش لنکزوس و ج) مقطع زمین‌شناسی

و همچنین ۳۵ تا ۴۳ km از سطح به عمق مقاومت ویژه افزایش می‌یابد طوری که بعد از لایه مارن ژیپس دار سازند قم وجود دارد که مقاومت ویژه در این نواحی از ۶۵ تا ۰/۳۹ $\Omega.m$ تا ۰/۳۶ $\Omega.m$ تغییر می‌کند. در ابتدا و انتهای پروفیل مقاومت ویژه با عمق افزایش می‌یابد که شامل توده‌های نفوذی می‌باشد و در این دو ناحیه بالا آمدگی تشکیلات سنگی به‌وضوح مشاهده می‌شود. در بخش مرکزی پروفیل در فاصله بین ۲۸-۳۸ km از سطح به عمق به‌علت وجود مارن ژیپس دار و انیدریت مقاومت ویژه به‌شدت کاهش می‌یابد (سازند قرمز بالایی M2) و تا نزدیکی عمق ۱۰ km (سازند قرمز بالایی M1) از منظر سنگ‌شناسی هر دو لایه ادامه می‌باید. از منظر سنگ‌پوش سازند قم در M2 را می‌توان به عنوان سنگ‌پوش سازند قم در نظر گرفت. در فاصله‌های افقی بین ۲۸ تا ۳۰ km گسل‌های مقطع زمین‌شناسی دارد.

مقدار مقاومت ویژه سطحی از ۱۱۳۰ $\Omega.m$ تا ۰/۳۴ $\Omega.m$ تغییر می‌کند. در ابتدا و انتهای پروفیل مقاومت ویژه با عمق افزایش می‌یابد که شامل توده‌های نفوذی می‌باشد و در این دو ناحیه بالا آمدگی تشکیلات سنگی به‌وضوح مشاهده می‌شود. در بخش مرکزی پروفیل در فاصله بین ۲۸-۳۸ km از سطح به عمق به‌علت وجود مارن ژیپس دار و انیدریت مقاومت ویژه به‌شدت کاهش می‌یابد (سازند قرمز بالایی M2) و تا نزدیکی عمق ۱۰ km (سازند قرمز بالایی M1) از منظر سنگ‌شناسی هر دو لایه ادامه می‌باید. از منظر سنگ‌پوش سازند قم در M2 را می‌توان به عنوان سنگ‌پوش سازند قم در نظر گرفت. در فاصله‌های افقی بین ۲۸ تا ۳۰ km گسل‌های مقطع زمین‌شناسی دارد.

TE مدلی با کیفیت بهتر و در زمان کوتاه‌تری را بازسازی می‌کند. همچنین، روش پیشنهادی برروی داده‌های واقعی منطقه کاشان اعمال گردید. مدل وارون به دست آمده توسط این روش نشان می‌دهد که این روش قادر به تشخیص معقولی از موقعیت گسل‌های موجود در منطقه، مرز فوکانی سازند قم و تاقدیس نواب می‌باشد. از مقایسه مقطع لرزه‌ای با مدل به دست آمده از داده‌های مگنتوتولوریک، می‌توان نتیجه گرفت که این روش نقاط ضعف ناشی از داده‌های لرزه‌ای را به شکل مطلوبی برطرف می‌سازد.

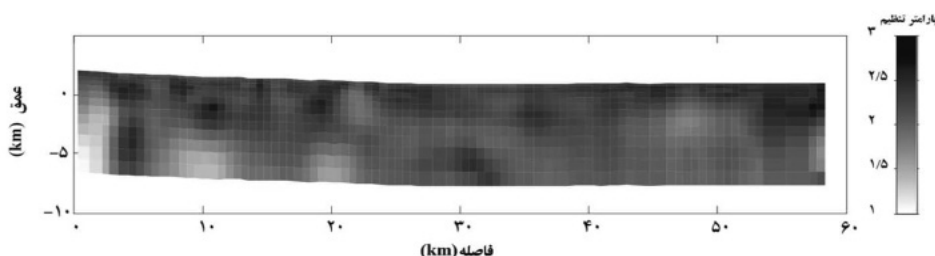
تشکر و قدردانی

در پایان لازم می‌دانیم از مدیریت اکتساف شرکت ملی نفت ایران در جهت به انجام رسیدن این تحقیق تقدير و تشکر کنیم بهخصوص جناب آقای دکتر قمی که برای تهیه مجموعه داده‌ها کمک شایانی کردند.

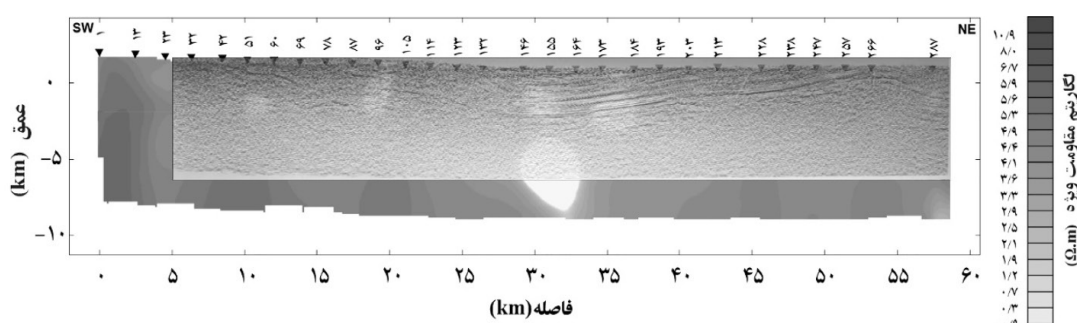
شکل ۸ توزیع پارامتر λ را نشان می‌دهد. پارامترهای تنظیم بالاتر به پارامترهای با قدرت تفکیک پایین‌تر و برعکس اختصاص دارد. پروفیل لرزه‌ای به گونه‌ای انتخاب شده است که با پروفیل مگنتوتولوریک در ناحیه از نظر موقعیت جغرافیایی نزدیک باشد تا امکان مقایسه نتایج وجود داشته باشد. با توجه به **شکل ۹** می‌توان دید که مقطع لرزه ای به دست آمده در ناحیه مزبور تا عمق ۲۸۰۰ m با نتایج مدل‌سازی داده‌های مگنتوتولوریک همخوانی قابل قبولی دارد ولی در عمق بیشتر از آن کیفیت ضعیفی دارد که روش مگنتوتولوریک آن را جبران می‌کند.

نتیجه‌گیری

در این مقاله، روش لنکزووس برای وارون‌سازی دوبعدی داده‌ای مگنتوتولوریک توسعه داده شده است. نتایج مدل‌سازی حاصل از یک مدل مصنوعی به کمک روش‌های لنکزووس و گرادیان مزدوج نشان می‌دهد که روش لنکزووس در هر دو حالت TM و



شکل ۸ مقطع توزیع پارامتر تنظیم λ



شکل ۹ مدل لرزه‌ای منطبق بر مدل به دست آمده با روش مگنتوتولوریک

مراجع

- [1]. Vozoff K (1987) The magnetotelluric method In: Nabighian, M.N. (Ed.), Electromagnetic Methods in Applied Geophysics, 2, SEG, Tulsa, OK , 641-707.
- [2]. Dobrin M D, Savit C H (1988) Introduction to Geophysical Prospecting 4th ed.McGraw-Hill, New York, 868.
- [3]. Sarvandani M M, Kalateh A N, Unsworth M, Majidi A (2017) Interpretation of magnetotelluric data from the Gachsaran oil field using sharp boundary inversion, Journal of Petroleum Science and Engineering, 149: 25–39.
- [4]. Watts M D, Pince A (1998) Petroleum exploration in overthrust area using magnetotelluric and seismic data, SEG expanded abstract, New Orleans.
- [5]. Xiao W, Unsworth M (2006) Structural imaging in the Rocky Mountain Foothills (Alberta) using magnetotelluric exploration, AAPG Bull, 90: 321–333.
- [6]. Christopherson K R (1991) Applications of magnetotelluric to petroleum exploration in Papua New Guinea: a model for frontier area, Lead. Edge, 10: 21–27.
- [۷]. هاشمی ن (۱۳۹۱) وارونسازی داده‌های مگنتوتولوریک جهت اکتشاف ساختارهای هیدروکربوری کپه داغ غربی، پایان نامه کارشناسی ارشد، دانشگاه صنعتی شاهرود، ایران.
- [۸]. Mansouri I, Oskooi B, Pedersen L (2015) Magnetotelluric signature of anticlines in Iran's Sehqaqat oil field, Tectonophysics, 654, 1: 101-112.
- [۹]. البرزیان ش، مرادزاده ع، قائدرحمتی ر، نجاتی کلاته ع و کشکولی م (۱۳۹۷) مدل‌سازی دوبعدی مرزهای تیز داده‌های مگنتوتولوریک به منظور تشخیص ساختارهای هیدروکربوری منطقه گچساران، زمین‌شناسی کاربردی پیشرفت، ۱۲: ۲۷-۳۶.
- [۱۰]. مطیعی، ه (۱۳۷۴) چینه‌شناسی زاگرس، انتشارات سازمان زمین‌شناسی کشور.
- [11]. Guoqiang X, Shaonian Z, Zhongdong L, Lailiang S, Huimin L (2007) Carbonate sequence stratigraphy of a back-arc basin: a case study of the qom formation in the kashan area, Central Iran, Acta Geologica Sinica-English Edition, 81: 488–500.
- [12]. Ward S H, Hohmann G W (1991) Electromagnetic theory for geophysical applications: electromagnetic methods in applied geophysics 2, 3, Nabighian, M. N, Ed, SEG Investigations in geophysics, 131-311.
- [13]. Swift C M (1967) A magnetotelluric investigation of electrical conductivity anomaly in the southwestern United States, PhD Thesis Massachusetts Institute of Technology, Cambridge, MA.
- [14]. Lilley F E M (1976) Diagrams for magnetotelluric data, Geophysics, 41: 766–770.
- [15]. Reddy I K, Rankin D, Phillips R J (1977) Three-dimensional modeling in magnetotelluric and magnetic variational sounding, Geophysical Journal International, 51: 313–325.
- [16]. Kao D, Orr, D (1982) Magnetotelluric studies in the Market Weighton area of eastern England, Geophys, Geophysical Journal International, 70, 2: 323–337.
- [17]. Caldwell T G, Bibby H, Brown C (2004) The magnetotelluric phase tensor, Geophysical Journal International, 158:457-469.
- [18]. Marti A, Queralt P, Ledo J (2009) WALDIM: A code for the dimensionality analysis of Magnetotelluric data using the rotational invariants of the Magnetotelluric tensor, Comput. Geosci, 35: 2295–2303.
- [19]. Krieger L, Peacock J R (2014) MTpy: a python toolbox for magnetotellurics, Computers and Geosciences, 72: 167–175.
- [20]. Aster R C, Borchers B, Thurber C H (2013) Parameter estimation and inverse problems, academic press.
- [21]. Tikhonov A N, Arsenin V Y (1977) Solution of Ill-Posed Problems, Wiley, NewYork, 258.
- [22]. Abedi M, Gholami A, Norouzi G H, Fathianpour N(2013) Fast inversion of magnetic data using Lanczos bidiagonalization method, Journal of Applied Geophysics, 90: 126–137.
- [23]. Calvetti D, Morigi S, Reichel L, Sgallari F (2000) An L-ribbon for large underdetermined linear discrete ill-posed problems, Numer Algorithms, 25: 89–107.
- [24]. Hestenes M R, Stiefel E (1952) Methods of conjugate gradients for solving linear systems, Journal of Research of the National Bureau of Standards, 49: 6: 409–436.
- [۲۵]. دهبانی، نجاتی کلاته ع، رضایی م و میرزایی م (۱۳۹۸) تخمین و مدل‌سازی سه‌بعدی ضخامت رسوبات روی پی‌سنگ به منظور اکتشاف ذخایر هیدروکربن با استفاده از داده‌های ژئوفیزیکی منطقه جنوبی هلند، پژوهش نفت، ۱۰۵: ۱۳۵-۱۲۵.
- [26]. Nemeth T, Normark E, Qin F (1997) Dynamic smoothing in crosswell traveltime tomography, Geophysics, 62, 168–176.

- [27]. Sasaki Y (1989) Two-dimensional joint inversion of magnetotelluric and dipole-dipole resistivity data, *Geophysics*, 54: 254–262.
- [28]. Yi M J, Kim J H, Chung S H (2003) Enhancing the resolving power of least-squares inversion with active constraint balancing, *Geophysics*, 68, 3: 931–941.
- [29]. Lee S K, Kim H J, Song Y, Lee C (2009) MT2DInvMatlab-A program in MATLAB and FORTRAN for two-dimensional magnetotelluric inversion, *Computers and Geosciences*, 35: 1722-1734.



Two-dimensional Modeling of Magnetotelluric Data for Detection of Hydrocarbon Sources by Lanczos Bidiagonalization Method (Case Study: Kashan Region)

Faegheh Mina Araghi¹, Mirsattar Meshinchi-Asl^{1*}, Ali Nejati Kalateh², Mahmoud Mirzaei³

1. Department of Earth Sciences, Science and Research Branch, Islamic Azad University, Tehran, Iran
2. Faculty of Mining, Petroleum and Geophysics Engineering, Shahrood University of Technology, Shahrood, Iran
3. Department of Physics, Faculty of Science, Arak University, Arak, Iran

m.meshinchi@srbiau.ac.ir

DOI: 10.22078/pr.2021.4405.2997

Received: February/03/2021

Accepted: June/14/2021

Introduction

The magnetotelluric method is a geophysical method with a natural source that uses the surface measurement of the electric and magnetic fields of the earth to explore and identify subsurface structures. The Earth's naturally varying electric and magnetic fields are measured over a wide range of magnetotelluric frequencies from 10,000 Hz to 0.0001 Hz. The method can be used as a useful method in areas where the application of seismic method is difficult due to reasons such as severe topography of the area and the existence of large underground cavities. In the last decade, electromagnetic methods and MT specially have been used in the exploration of hydrocarbon reservoirs [1].

In Iran, MT method has also been applied in oil and gas exploration. MT survey was used in Gachsaran region in order to detect hydrocarbon structures. The model obtained by inversion showed the top of Asmari formation and anticlinal structures with good accuracy [2]. Magnetotelluric exploration was applied in the western Kope Dagh in 2008. The aim of this research were modeling and interpretation of magnetotelluric data to detect the hydrocarbon structures. The resistivity sections show a clear picture of the resistivity changes both laterally and with depth [3].

In the present work, for processing time series data

from Kashan area, the SSMT2000 software provided by Phoenix Geophysics Company was used. In the next step, by calculating the values of the impedance tensor (Z), the values of apparent resistivity and phase in the frequency domain are determined. After that, conjugate gradient and Lanczos inversion algorithms are implemented on synthetic and real data. Finally, to validate the results of the inverse modeling, the models recovered were compared with geological section.

Materials and Methods

The optimization process includes minimizing an objective function in order to achieve an optimal solution for the inverse problem. Iterative methods are commonly used for the optimization of nonlinear inverse problem [4]. In this study, we employed the fast iterative method of LB for 2D MT data. In addition, we tested CG method for the data to provide a comparison for LB. Both of them are iterative methods for approximate solution of large-scale and sparse linear system of equations. The objective function can be expressed as:

$$P(m) = \phi(m) + \lambda^2 s(m) \quad (1)$$

where $\phi(m)$ is the misfit functional, $s(m)$ is the stabilizing functional, and λ is the regularization parameter. After minimization of Equation (1), the following equation can be written:

$$\Delta m = (J^T J + \lambda^2 W^T W)^{-1} J^T \Delta d \quad (2)$$

where J is the jacobian matrix (matrix of first order partial derivatives), W is the Laplacian (second-order) operator and Δd is the error vector which refers to the difference between predicted and observed data [5]. In the process of inversion, firstly Δd and the Jacobian matrix (J) are computed using an initial model (m_r) which has been specified as a column vector of zero elements; then the stop criterion for the inversion is controlled. The iteration cycle will be stopped when the RMSE due to difference between observed data and model response is equal or less than the RMSE due to added noise. The model is updated using the changes in the estimated model:

$$m_{up} = m_r + \Delta m \quad (3)$$

Equation 2 can be solved using the least squares method:

$$\min \left\| \begin{pmatrix} J \\ \lambda W \end{pmatrix} \Delta m - \begin{pmatrix} \Delta d \\ 0 \end{pmatrix} \right\|_2^2 \quad (4)$$

To update the model parameters and estimate their changes, the LB method was used. In this algorithm, the equation is replaced with a dimensionally reduced one; afterwards, the new equation is solved using the well-known approaches such as the least squares inversion.

Choosing the Regularized Parameter

In inverse modeling, we try to have a good estimate of the regularization parameter. However, it is not easy to find the best one. Large values for the

regularization parameter would apply more constraint or regularization to the solution and give poor resolution of the parameters. On the other hand, too small values of the parameter may be harmful to the stability of the inversion. An intermediate value must be chosen, compromising the resolution and the stability. This approach, however, neglects the fact that each parameter is not equally resolvable. Hence, varying the parameter is preferred to get both the resolution and the stability as the inversion converges [6]. Though, this approach can make the inverse problem more accurate than when using a fixed regularization parameter. An alternative to varying the parameter as the iterations proceed is to use the spatially varying regularization parameter [7]. The spatially variable regularization parameter algorithm which is called ACB (Active Constraint Balancing) was first introduced by Yi et al [8].

Inversion of Synthetic Data

In order to test the inversion method, a simple synthetic model consists of two different rectangular blocks was simulated. One of the blocks has 2×4 km dimension with an apparent resistivity of $10 \Omega \cdot \text{m}$ which is buried at 2.5 km depth. While, the other one has 4×1.5 km dimension with an apparent resistivity of $100 \Omega \cdot \text{m}$ which is buried at 1 km depth. For both of them a host medium with an apparent resistivity of $50 \Omega \cdot \text{m}$ is used. Random Gaussian noise with a standard deviation of 2% of the data amplitude was added to the data. The results obtained are seen in Figures 1 and 2.

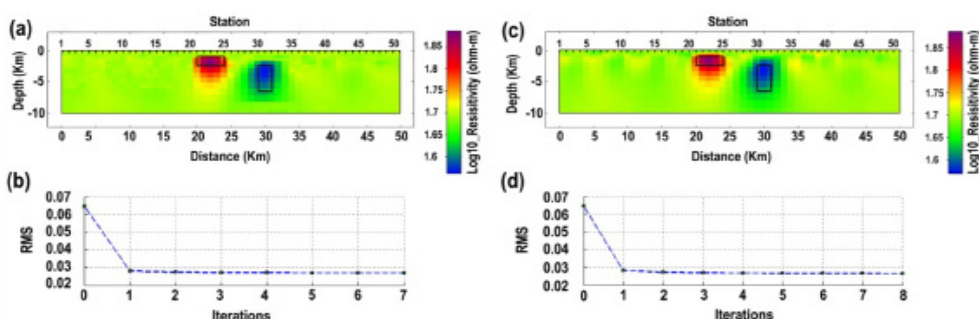


Fig. 1 The performance of the introduced methods for TM mode inversion of the synthetic example. Recovered models obtained by LB and CG methods are shown in (a) and (c), respectively. In addition, RMS of the models are presented in (b) and (d) for LB and CG, respectively

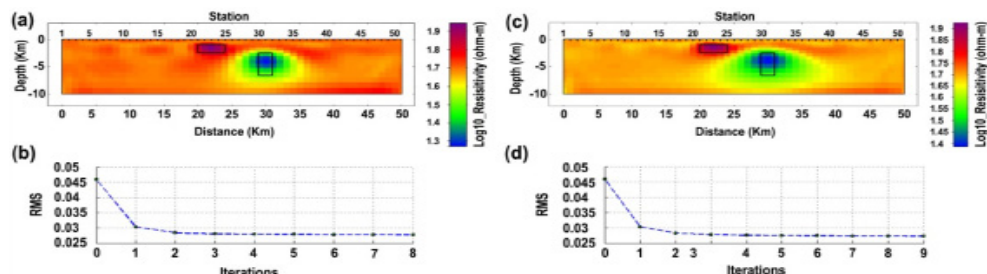


Fig. 2 The performance of the introduced methods for TE mode inversion of the synthetic example. Recovered models obtained by LB and CG methods are shown in (a) and (c), respectively. In addition, RMS of the models are presented in (b) and (d), for LB and CG, respectively.

Inversion of Real Data

The data from the Kashan area has been collected along a profile in northeast-southwest direction with 60 km length and 276 stations which the distance between the stations is 200 m. For each station horizontal components of magnetic and electric fields have been recorded. To obtain geophysical model of Kashan area from inversion of the collected data, LB

and CG algorithms were employed. Figure 3 shows the inversion results of real data. The apparent resistivities and phases obtained by LB are in better fit with the observed data than those obtained by CG. TM mode, a more reliable model from the subsurface structure retrieved by LB that was more closely in agreement with geology information of the zone compared to that achieved by CG.

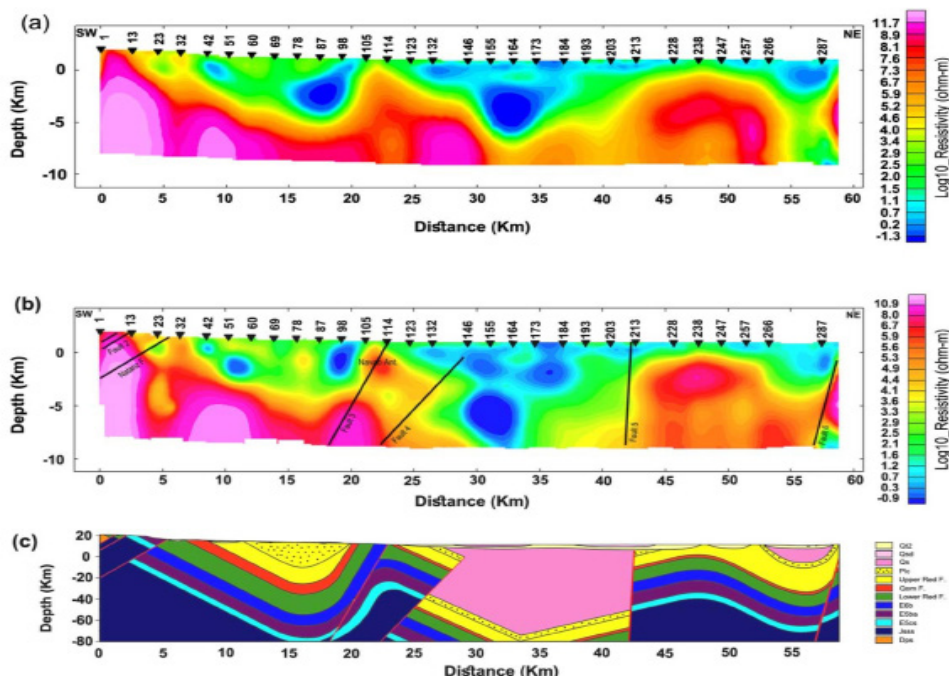


Fig. 3 The models of TM mode inversion of the field data recovered by CG algorithm (a) LB method (b) and geological section of the selected profile in the study area (c)

Conclusions

In this paper, the lanczos method is developed for two-dimensional inversion of magnetotelluric data. According to the results obtained for the inversion technique, the proposed method performed faster and better (in terms of quality of the results) for synthetic data compared to the other method (CG). We also applied the proposed method to real MT data of the Kashan area. The results of the inversion modeling obtained by LB indicate that the method is able to detect almost the exact positions of the available faults along the profile, Formations of the zone, upper boundary of Qom Formation and the anticline very well. From comparing seismic section and inverse modeling of the MT data, the conclusion can be drawn that the results of the MT method can be used for filling the lack of geological information of seismic survey.

Acknowledgments

We would like to thank National Iranian Oil Company for providing us with the field MT data. In addition, we are honored to thank particularly Mr. Ghomi, who helped to prepare the data set.

References

- Dobrin, M.D, Savit C.H (1988) Introduction to Geophysical Prospecting 4th ed.McGraw-Hill, New York, 868.
- Sarvandani M.M, Nejati Kalateh A, Unsworth M, Majidi A (2017) Interpretation of magnetotelluric data from the Gachsaran oil field using sharp boundary inversion. *J. Petrol. Sci. Eng.*, 149, 25–39.
- Hashemi N (2012) Inversion of magnetotelluric data to explore the hydrocarbon structures of the western Kopeh Dagh, PhD thesis, Shahrood University of Technology, Shahrood, Iran.
- Chauhan M S, Fedi M, Sen M K (2018) Gravity inversion by the Multi-Homogeneity Depth Estimation method for investigating salt domes and complex sources. *Geophys. Prospect.*, 66: 175–191.
- Aster R.C, Borchers B, Thurber C.H (2013) Parameter Estimation and Inverse Problems, Academic Press.
- Nemeth T, Normark E, Qin F (1997) Dynamic smoothing in crosswell traveltome tomography, *Geophysics*, 62, 168–176

7. Sasaki Y (1989) Two-dimensional joint inversion of magnetotelluric and dipole-dipole resistivity data, *Geophysics*, 54, 254–262.
8. Yi M J, Kim J H, Chung S H (2003) Enhancing the resolving power of least-squares inversion with active constraint balancing, *Geophysics*, 68, 3: 931–941.